



OSTBAYERISCHE
TECHNISCHE HOCHSCHULE
REGENSBURG

Smart Car

Hauptseminar Projektstudium

An der
Ostbayerischen Technischen Hochschule Regensburg
Fakultät Informatik/Mathematik

Betreut durch Prof. Dr. Klaus Volbert

Vorgelegt von:

Knorr Thomas	xyzk	HSP1
Lackner Andreas	3120204	HSP2
Schleinkofer Michael	3119501	HSP2
Welker Franz	3119754	HSP2
Wiche Fabian	xyzk	HSP1

Datum: 5. April 2018

Inhaltsverzeichnis

1	Use Cases	3
2	System Design	4
2.1	Dongle	4
2.1.1	GPS-Empfänger	4
2.1.2	Zeit	7
2.1.3	Beschleunigungssensor	7
2.1.4	Programmlogik	8
3	Implementierung	10
3.1	App	10
3.2	Backend	10
3.3	Dongle	10
3.3.1	GPS und Zeit	10
3.3.2	Beschleunigungssensor	12
3.3.3	Programmlogik	12
4	Tests	14
4.1	Dongle	14
5	Ausblick	16

Einleitung

Kurze Einleitung, warum haben wir uns das Thema ausgesucht (nicht lang oder so)... Gibt z.B. Pace aber braucht man immer Handy, wollten es anders machen...

1 Use Cases

Was haben wir uns vorgestellt, dass wir am Ende erreichen wollen. Z.B. einfaches wie Strecken im Backend anzeigen mit infos wie länge, V,... Im Dongle aufnehmen können In der App live Daten sehen können

2 System Design

2.1 Dongle

Wie auf der Produkthomepage beschrieben, so nutzt der Dongle als Haupt-Controller einen ATmega328p, wie er auch auf einem Arduino UNO verwendet wird. Bei der Architektur der Dongle-Software wird deshalb für den Programmablauf ein für Arduino-Projekte klassischer Aufbau mit einer “setup”- und einer “loop”-Funktion innerhalb einer main-Datei verwendet.

Um bei der Entwicklung der Software für den Dongle möglichst wenig Inhaltsüberschneidungen der Teammitglieder zu erreichen und um die Verständlichkeit und Wartbarkeit des Codes zu verbessern wurde entschieden die Schichtenarchitektur wie in Bild 2.1 umzusetzen.

Hierbei wird für die meisten Funktionsmerkmale mindestens eine Klasse auf der Intermediate-Layer sowie der Driver-Layer implementiert. Dies hat zur Folge, dass bei einer Funktionsänderung wie beispielsweise der Verwendung eines anderen GPS-Empfängers nur die entsprechende Treiber-Klasse geändert werden muss. Die Hauptklasse mit der eigentlichen Programmlogik bleibt dabei unangetastet. Die im Bild 2.1 mit “(Fm)” ergänzten Klassen werden aus den Bibliotheken des Herstellers übernommen.

2.1.1 GPS-Empfänger

Da ein zentrales Ziel der Applikation die Anfertigung eines Fahrtenbuches mit Streckenaufzeichnung ist, muss auch die Position des Fahrzeuges möglichst genau bestimmt werden. Der in diesem Projekt verwendete Freematics ONE bietet hier die Möglichkeit, einen externen GPS-Empfänger per UART anzubinden.

Um die Anschaffungskosten zu reduzieren, wurde zunächst untersucht, ob neben dem von Freematics verkauften GPS-Empfänger auch andere GPS-Receiver-Chips mit dem OBD-Dongle kompatibel sind. Ein Problem bei dieser Untersuchung ist die Architektur des Freematics ONE, da die Kommunikation mit dem GPS-Empfänger nicht auf dem ATmega328p Haupt-Controller sondern auf einem STM32 Coprozessor ausgeführt wird. Leider ist der Code auf dem Coprozessor

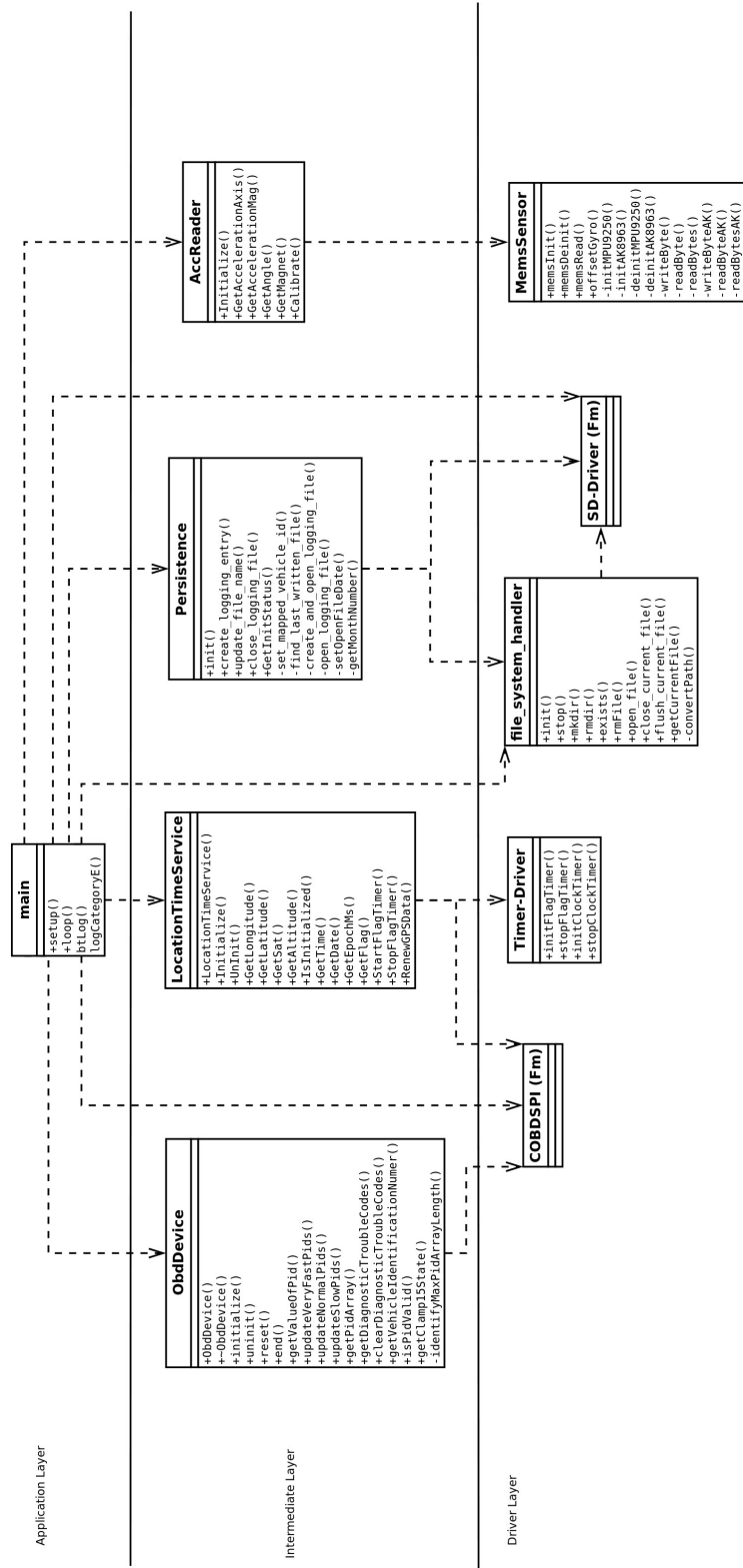


Abbildung 2.1: Architektur der Dongle-Software

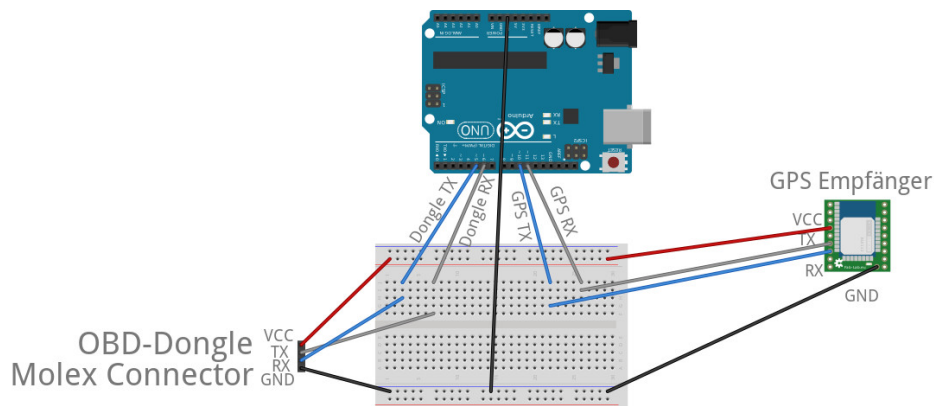


Abbildung 2.2: Versuchsaufbau zur Analyse der UART-Kommunikation zwischen Dongle und GPS-Empfänger

nicht öffentlich einsehbar und auch nicht ohne großen Aufwand auslesbar. Ein weiteres Problem bestand darin, dass auch ein Öffnen des Gehäuses des von Freematics selbst vertriebenen GPS-Empfängers nicht zur Identifikation des Chips beitragen konnte. Es wurde allerdings klar, dass dieser nicht der Angabe auf der Produkt-homepage des Freematics ONE entsprach. Der Empfänger-Chip ist nur mit einem QR-Code versehen und eine Recherche zum Hersteller verwies nur auf den chinesischen Produzenten des ganzen Empfänger-Moduls.(www.szgrltd.com)

Daher wurde eine andere Vorgehensweise zur Untersuchung der Kommunikation angewandt. Dazu wurde, wie in Abbildung 2.2 abgebildet, ein zusätzlicher Arduino UNO als Zwischenstation in die UART-Kommunikation zwischen Dongle und Empfänger eingefügt. Zwei durch Software simulierte, serielle Schnittstellen auf dem Arduino UNO werden nun genutzt, um die vom Dongle und vom GPS-Empfänger gesendeten Daten aufzufangen, auf der über USB angeschlossenen seriellen Konsole eines Rechners auszugeben und an den jeweils anderen Kommunikationspartner weiterzuleiten.

Nach Auswertung der Kommunikation, stand fest, dass der von Freematics gelieferte Gps-Empfänger kompatibel zu einem u-blox UBX-G7020 ist. Dieser versendet standardmäßig Nachrichten gemäß dem NMEA Standard. Darüber hinaus wurde ersichtlich, dass der OBD-Dongle keine Nachrichten zum GPS-Chip sendet.

Da nun allerdings der konkrete Empfänger feststand, konnte dazu die entsprechende Protocol Specification heruntergeladen und mit weiteren GPS-Empfängern verglichen werden. Letztendlich wurde ein Pixhawk GPS Empfänger für einen

Modellbau-Quadrokofter auf Basis eines u-blox Neo6M mit zusätzlichem Magnetfeld-Sensor ausgewählt. Dieser Mikrochip verfügt zwar nicht über die exakt gleiche Protocol Specification, die ab Werk konfigurierte Kommunikation jedoch ist nahezu identisch und kompatibel mit der des von Freemantics gelieferten Produktes.

Um den neuen Empfänger am Dongle zu betreiben, wurde an dessen Signal-Eingängen ein 2x2-Molex Stecker passend angelötet. Die I2C-Pins des Magnetfeld-Sensors wurden dabei nicht belegt.

Ein erster Test mit der mitgelieferten Software zeigte die grundsätzliche Funktion des neuen GPS-Moduls. Allerdings ist die Genauigkeit des Pixhawk-Empfängers etwas schlechter als die des UBX-G7020.

2.1.2 Zeit

Wie bereits erwähnt, muss auch auf dem Dongle eine Repräsentation der genormten Zeit vorhanden sein. Zunächst soll jeder erfasste Datenwert mit einem Zeitstempel versehen werden um mit einer totalen Ordnung die Analyse dieser Werte erst zu ermöglichen. Zum anderen sollen die Datenwerte mit einem Intervall von 200 Millisekunden erfasst werden.

Die Anforderung nach einem genauen Zeitintervall von 200 Millisekunden zwischen dem Abrufen der OBD-Werte der Klasse A kann durch den Einsatz eines Hardware-Timers und Interrupts gelöst werden. Auf dem ATmega328p Hauptcontroller stehen dem Entwickler 3 Hardware-Timer zur Verfügung. Allerdings muss hierbei beachtet werden, dass die Arduino-Bibliothek den Timer 0 für die Funktionen `delay()` und `millis()` verwendet und diese daher unangetastet bleiben sollten.[SB] Da die Intervalle zum Abrufen der PID-Klassen B, C und D ein Vielfaches der 200 Millisekunden der Klasse A sind, müssen für diese keine weiteren Timer verwendet werden. Statt dessen kann ein einfacher Vergleich in Kombination mit dem Modulo-Operator genutzt werden (vgl. Abbildung 2.4).

2.1.3 Beschleunigungssensor

Zunächst wurde ermittelt, welcher Sensor im Dongle verbaut wurde. Anhand der Informationen auf der Produkthomepage sowie des Source-Codes des Treibers wurde ersichtlich, dass ein MPU-9250 MEMS Bewegungssensor mit jeweils 3 Achsen für Beschleunigungs-, Drehraten- und Magnetfeldmessung verbaut ist. Hierbei ist besonders, dass der Sensor für das Magnetfeld als I²C-Submodul am Sensor ausgeführt ist.

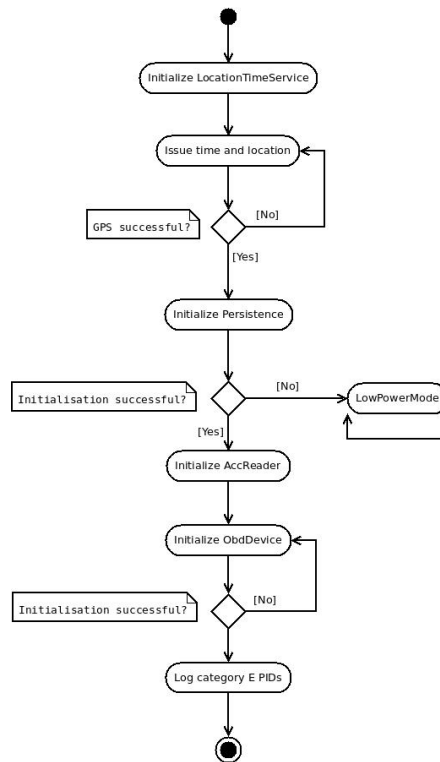


Abbildung 2.3: Programmablauf der Initialisierung

2.1.4 Programmlogik

Die eigentliche Programmlogik kann wie bereits erwähnt in die Teile “Setup” und “Loop” getrennt werden.

Die Abbildung 2.3 beschreibt den Ablauf des Programms beim Einstecken des Adapters in die Schnittstelle des Autos. Hervorzuheben ist, dass die Reihenfolge der Initialisierungen von großer Bedeutung ist. Näheres dazu wird im Kapitel 3.3.3 erklärt. In Abbildung 2.4 ist der Ablauf des Programms ersichtlich, welches die eigentliche Funktionalität enthält. Dies wurde in drei Modi umgesetzt. Während des Logging-Modus werden die Fahrzeug-Daten gesammelt, auf eine SD-Karte geschrieben und per Bluetooth an ein Smartphone gesandt. Der Upload-Modus dient dazu, die gesammelten Daten auf der SD-Karte an die Smartphone-App weiterzugeben. Dies soll ein Entnehmen der Karte zum Auslesen der Daten optional machen. Der Schlafmodus dient letztendlich dazu, bei abgeschalteter Zündung das Bordnetz des Fahrzeugs möglichst wenig zu belasten.

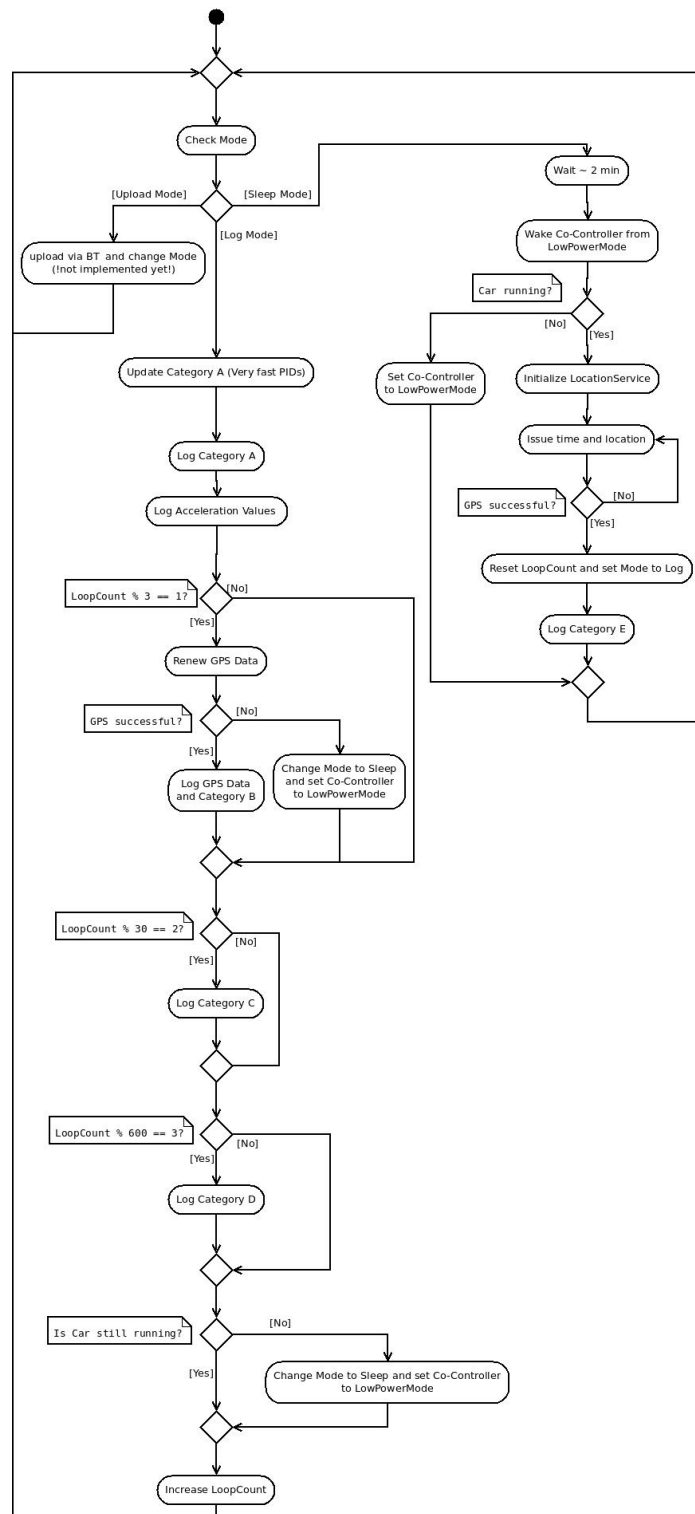


Abbildung 2.4: Programmablauf der Endlosschleife

3 Implementierung

Wie wurde es umgesetzt, wie waren die Ideen (also hier z.b. auf die Gesamte Architektur eingehen, spezifische der einzelnen Bereiche in den unter Kapiteln)

3.1 App

Was kann die App, und besonderes erklären

3.2 Backend

Was kann das Backend, und besonderes erklären

3.3 Dongle

3.3.1 GPS und Zeit

Um den GPS-Empfänger auch in der in diesem Projekt geschriebenen Dongle-Software zu nutzen, wurde zunächst der Code des von Freemantics veröffentlichten Treibers für den Coprozessor übernommen, da dieser den Datenaustausch mit dem Empfänger regelt und die serielle Schnittstelle mit diesem verbunden ist. Um die Kommunikation von der eigentlichen Anwendungslogik abzutrennen, wurde eine weitere LocationTimeService-Klasse auf Ebene der Intermediate-Layer implementiert. Diese bietet nun vereinfachten Zugriff auf die gemessenen Werte des geographischen Längen- und Breitengrads, der Höhe über Normalnull und die Anzahl der verfügbaren Satelliten. Darüber hinaus stellt sie auch Funktionen zum erneuten Abrufen und Speichern der GPS-Daten und zur Initialisierung der Kommunikation mit dem GPS-Chip über UART zur Verfügung. Dabei ist zu beachten, dass die Anzahl der Satelliten für eine möglichst korrekte Positionsbestimmung zwischen 4 und 14 liegen muss [Fou].

Während der Initialisierung des LocationService, wird bis zu fünf mal versucht, über den Treiber des Coprozessors eine serielle Datenübertragung aufzubauen. Um die Genauigkeit vor allem des Pixhawk-Empfängers zu verbessern, wird während

der Initialisierung der LocationService-Klasse der Intermediate Schicht der GPS-Chip für die Nutzung für “Satellite Based Augmentation Systems” (SBAS) konfiguriert. Dazu wird die write-Methode des Treibers genutzt, mit dem ein Byte-Array 1:1 übertragen werden kann. Gemäß der Protocol-Specification beider GPS-Module, kann SBAS mit folgendem Code konfiguriert werden:

```
1  uint8_t cmd[] = {0xB5, 0x62, 0x06, 0x16, 0x00, 0x08,
                   0x03, 0x07, 0x00, 0x00, 0x00, 0x00, 0x51, 0x7F,
                   0xEE };
2  uint8_t cmdLen = 15;
3  [...]
4  //send config command
5  _coProc->setTarget(TARGET_GPS);
6  _coProc->write(cmd, cmdLen);
```

Um die Kommunikation mit dem Coprozessor nicht unnötig zu belasten und die Verarbeitung der OBD-Daten auf diesem nicht zu kompromittieren, werden die Sensordaten nur nach Bedarf mit der Methode RenewGPSData in Member-Variablen der LocationTimeService-Klasse zwischengespeichert. Ein Aufruf der Getter-Methoden führt nur dazu, dass diese zwischengespeicherten Werte ausgegeben werden.

Da mit dem GPS auch Zeitinformationen übertragen werden, werden diese genutzt, um die aktuelle Zeit auf dem System verfügbar zu machen. Dazu erhält die LocationTimeService-Klasse zusätzliche Methoden um die Hardware-Timer 1 und 2 zu konfigurieren und um die Millisekunden seit dem 1.1.1970 abzurufen. Diese Zeit wird in der LocationTimeService-Klasse als Membervariable zwischengespeichert.

Um die GPS-Information zur “Unix-Epoch” umzuwandeln wird auf Funktionen der Header-Datei “time.h” zurückgegriffen, welche in der Arduino Header Sammlung enthalten ist. Allerdings muss während der Konversion der Wert 946684800 hinzuaddiert werden, da Arduino die Epoch seit dem 1.1.2000 rechnet und der genannte Wert den Sekunden zwischen 1.1.1970 und 1.1.2000 entspricht. Bei der Rückgabe der Millisekunden muss darauf geachtet werden, dass ein Datentyp mit 64 Bit verwendet wird und auch keine impliziten Umwandlungen bei der Berechnung auftreten.

In diesem Zuge wird Timer 1 mit global sichtbaren Funktionen und einem Interrupt so konfiguriert, um das Logging-Intervall von 200 ms einzuhalten. Timer 2 wird ähnlich konfiguriert, sorgt aber dafür, dass der zwischengespeicherte Epoch-Wert alle 8 Millisekunden um diesen Wert erhöht wird. Dadurch muss nicht jedes

mal die GPS-Zeit abgerufen werden, wenn der Zeitstempel benötigt wird.

3.3.2 Beschleunigungssensor

Der Treiber für den im Dongle verbauten Beschleunigungs-Sensor wurde nicht von Freematics übernommen sondern in Anlehnung an diesen neu Implementiert. Dies geschah vor allem um die Einheit der aufgezeichneten Sensorwerte selbst zu definieren und verständlicher darzustellen, sowie um Platz auf dem Flash-Speicher zu sparen.

Die AccReader-Klasse stellt nun Methoden zur Verfügung, welche für eine anzugebende Achse die Beschleunigung in g, die Rotation in Grad pro Sekunde und das Magnetische Feld in μ -Tesla zurückgeben. Darüber hinaus kann auch die Absolut-Beschleunigung zurückgegeben werden und die aktuellen Beschleunigungs- und Gyroskopwerte als "0" kalibriert werden. Dabei ist zu bemerken, dass für das Gyroskop Biaswerte direkt in Register auf dem Sensor geschrieben werden können, wohingegen diese Biaswerte für den Beschleunigungssensor im RAM des Haupt-Controllers vorgehalten werden müssen.

3.3.3 Programmlogik

Die Implementierung der Programmlogik erfolgte weitestgehend nach dem in Kapitel 2.1.4 vorgestellten Abläufen. Um den Zustand des Programms während der Endlosschleife zu erfassen, wurde eine Datenstruktur definiert, welche den Modus sowie den Schleifenzähler umfasst. Somit kann das Programmverhalten durch die Veränderung einer lokal sichtbaren Datenstruktur beeinflusst werden.

Um die erfassten Beschleunigungs- und GPS-Daten genau so wie die OBD-Werte loggen zu können, mussten für diese noch eigene IDs vergeben werden. Dazu wurde der Bereich 0xF0 bis 0xFF gewählt, da diese im OBD-Protokoll nicht zur Erfassung von Fahrzeugdaten verwendet werden [Sta06].

Während der Integration aller Klassen trat jedoch ein schwerwiegendes Problem auf. Wie bereits in Kapitel 2.1.4 erwähnt, traten massive Speicherprobleme auf. Zu diesem Zeitpunkt wurden alle funktionalen Klassen erst vor ihrer Initialisierung instantiiert und die Persistenzklasse war dabei als Letztes vorgesehen. Allerdings zeigte der Dongle bei der Initialisierung der Persistenz-Klasse ein undefinierbares Verhalten mit sporadischen Software-Abstürzen. Dies legte eine Knappheit von RAM nahe. Mit der von Bill Earl vorgestellten Funktion "freeMemory()" [Ear13a] konnte nachgewiesen werden, dass zum Öffnen bzw. Erstellen einer Datei auf der

SD-Karte mindestens 384 Byte im RAM verfügbar sein müssen. Allerdings wurde bei der Analyse des Speicherbedarfes auch ersichtlich, dass zum Schreiben in die bereits geöffnete Datei weniger Platz auf dem Heap benötigt wird.

Um diesem Problem entgegenzuwirken wurden mehrere Maßnahmen getroffen. Zunächst wurden alle Strings, sofern diese auch wirklich benötigt werden, mithilfe des Makros “F()” auf den sogenannten PROGMEM ausgelagert und mehrere Funktionen als inline-Funktionen deklariert [Ear13b]. Damit soll der Stack und damit der gesamte RAM-Verbrauch optimiert werden. Darüber hinaus wurden die meisten funktionalen Klassen nun nicht mehr mit dem new-Operator instantiiert, sondern als global verfügbare Objekte geführt. Dies stellt einen Versuch dar, der Speicherfragmentierung bei der dynamischen Instantiierung entgegenzuwirken. Auch wird nun die Initialisierung der Persistenzklasse sofort nach der Initialisierung der LocationTimeService-Klasse durchgeführt, da zu diesem Zeitpunkt einige der verbliebenen, dynamisch allokierten Klassen noch nicht instantiiert sind und somit mehr RAM zur Verfügung steht. Ebenfalls erfolgt die Speicherung der abgefragten OBD-Werte nicht mehr in einem Array, welches groß genug ist für alle Werte. Dieses Array wurde nun so verkleinert, dass es nur noch für alle PIDs der umfangreichsten Logging-Klasse (je nach Fahrzeug entweder Klasse A oder Klasse B) ausreicht. Dabei müssen allerdings die alten PID-Werte bei jedem Wechsel der Logging-Klasse gelöscht werden.

4 Tests

4.1 Dongle

Nach der erfolgreichen Integration der Dongle-Software erfolgte die Testphase, bei der der Dongle in iterativen Durchgängen an die OBD-Buchse verschiedener PKWs angeschlossen wurde. Hierbei wurden mehrere Fehlfunktionen entdeckt und behoben.

Es wurde zunächst deutlich, dass die Dauer der einzelnen Durchgänge der Hauptschleife weit über das erwartete Maß hinaus geht. Hierbei wurden die Zeitstempel zweier geloggtter OBD-Werte mit der PID 0x0C verglichen. Dieser Wert ist der erste, der in jedem Durchgang erfasst wird. Folgende Werte zeigen beispielhaft die Dauern von Durchgängen bei denen alle Logging-Klassen mindestens einmal erfasst wurden: Eine Analyse zeigte auf, dass diese hohen Zeiten vor allem durch die Latenz bei der Abfrage der OBD-Daten vom Steuergerät zustande kommen. Dieses Verhalten kann nicht beeinflusst werden, stellt allerdings nur ein kleines Problem dar. Da zu jedem erfassten Wert auch ein Zeitstempel mit einer Genauigkeit von ± 8 Millisekunden gespeichert wird, ist die Einhaltung der angestrebten 100 Millisekunden für spätere Berechnungen nicht notwendig. Die Unterschiedliche Frequenz mit der die Logging-Klassen erfasst werden, welche mittels der Modulo-Operationen auf dem Loop-Counter erreicht wird, bleibt aufgrund der geringen Änderungsrate der Werte jedoch bestehen.

Tabelle 4.1: Beispiel-Zeiten für einzelne Durchgänge der Haupt-Schleife

Durchgang	Dauer in Millisekunden	erfasste Logging-Klassen
0	488	A
1	708	A + B
2	960	A + C
3	608	A + D
4	656	A + B

Darüber hinaus zeigten die Tests, dass die Verwendung des LowPowerModes des Coprozessors nicht den Erwartungen entsprach. Der STM32 konnte zwar in einen Schlafzustand versetzt werden, die Reaktivierung des selben konnte jedoch trotz intensiver Recherche im veröffentlichten Code und im offiziellen Freemantics Forum nicht erreicht werden. Es zeigte sich allerdings, dass die verwendeten Funktionen aus den aktuelleren Versionen der offiziellen Softwarebibliotheken entfernt wurden [Hua18]. Da bereits ein Timeout bei der Abfrage von OBD-Werten dazu führt, dass die Dongle-Software ein Abstellen des Fahrzeuges vermutet, folgte daraus ein zufälliges Abbrechen der Aufzeichnung während einer laufenden Fahrt. Zur Beseitigung des Problems wurde auf die Verwendung des LowPowerModes verzichtet. Dieses Problem stellt im aktuellen Projektstand eine Verbesserungsmöglichkeit dar.

5 Ausblick

Was kann man jetzt mit unserem Zeug als Grundlage anstellen, was haben wir uns überlegt aber konnten es nicht mehr umsetzen. Wie in 4.1 erwähnt könnte der Energieverbrauch bei Nichtbenutzung des Fahrzeugs noch verringert werden. Möglicherweise über die gesamte Motor-Laufzeit ermitteln, welche Durchschnittsgeschwindigkeit gefahren wurde. -j Möglichkeit zur Erkennung einer Manipulation der Kilometerzahl

Abbildungsverzeichnis

2.1	Architektur der Dongle-Software	5
2.2	Versuchsaufbau zur Analyse der UART-Kommunikation zwischen Dongle und GPS-Empfänger	6
2.3	Programmablauf der Initialisierung	8
2.4	Programmablauf der Endlosschleife	9

Listings

Tabellenverzeichnis

4.1	Beispiel-Zeiten für einzelne Durchgänge der Haupt-Schleife	14
-----	--	----

Abkürzungsverzeichnis

HKIWS Hier könnte ihre Werbung stehen

Literatur

- [Ear13a] Bill Earl. *Measuring Memory Usage — Memories of an Arduino — Adafruit Learning System*. online. <https://learn.adafruit.com/memories-of-an-arduino/measuring-free-memory>, Aug. 2013.
- [Ear13b] Bill Earl. *Optimizing SRAM — Memories of an Arduino — Adafruit Learning System*. online. <https://learn.adafruit.com/memories-of-an-arduino/measuring-free-memory>, Aug. 2013.
- [Fou] OpenStreetMap Foundation, Hrsg. *Genauigkeit von GPS-Daten - OpenStreetMap Wiki*. online. https://wiki.openstreetmap.org/wiki/DE:Genauigkeit_von_GPS-Daten.
- [Hua18] Stanley Huang. *Revision History of Freematics Library*. online. <https://github.com/stanley19cf70a1267f7209192f2f0417ae1eb4>, Feb. 2018.
- [SB] Ken Shirriff und Paul Badger. *Arduino -SecretsOfArduinoPWM*. online. <https://www.arduino.cc/en/Tutorial/SecretsOfArduinoPWM>.
- [Sta06] International Organization for Standardization, Hrsg. *ISO 15031-5*. Jan. 2006.